

مطالعه عوامل موثر بر کانه‌زایی معدن مس-طلای پورفیری-اپیترمال سوناجیل، با استفاده از مطالعات سنجش از دور، کانی‌شناسی و زمین‌شیمی

محمد معانی جو^(۱)، طبیه رمضانی^(۲) و سعید علیپور^(۳)

۱. دانشیار گروه زمین‌شناسی، دانشکده علوم پایه، دانشگاه بولی سینا، همدان، ایران
۲. دانشجوی دکتری گروه زمین‌شناسی، دانشکده علوم پایه، دانشگاه بولی سینا، همدان، ایران
۳. کارشناس ارشد زمین‌شناسی اقتصادی، شرکت مهندسین مشاور پارس اولنگ، تهران، ایران

تاریخ دریافت: ۹۶/۰۶/۱۳

تاریخ پذیرش: ۹۶/۱۱/۰۷

چکیده

به منظور شناسایی عوامل موثر بر کانی‌سازی معدن مس-طلای پورفیری-اپیترمال سوناجیل به بررسی سنجش از دور، کانی‌شناسی و زمین‌شیمی پرداخته شد. بعد از حذف پوشش گیاهی توسط روش شاخص بهنجارشده پوشش گیاهی و اثرات بازتابش خورشیدی، خطای دستگاهی و اثرات توپوگرافی و آلbedo توسط روش لگ بازماندی (LR)، روش‌های نسبت باندی (BR)، ترکیب کاذب رنگی (FCC)، تحلیل مولفه اصلی (PCA) و فیلترینگ تطبیق یافته تنظیم اختلاط (MTMF) برای شناسایی زون‌های دگرسانی اصلی منطقه مورد مطالعه به کار رفت و دگرسانی‌های فیلیک، آرژیلیک پیشرفت و پروپلیتیک آشکار شدند. دگرسانی‌های مذکور توسط مطالعات کانی‌شناسی تایید شدند. همچنین بررسی زمین‌شیمی نمونه کل توده پورفیری سوناجیل ترکیب میکرودیوریتی و شوشوئیتی و پس از کوه‌زایی بودن معدن سوناجیل را مشخص کرد. در پایان، اختلاف تراکم گسلش، ترکیب ماقمای منشا و عمق کانه‌زایی از عوامل موثر بر کانه‌زایی معدن سوناجیل ذکر شد.

واژه‌های کلیدی: کانی‌سازی مس-طلای، نهشت‌های پورفیری-اپیترمال، زمین‌شیمی، سنجش از دور، شمال غرب کشور.

مقدمه

می‌شود. به عبارتی دیگر، کانی‌ها نشانه طیفی^(۱) مشخصی در طیف‌های مرئی و فروسرخ نزدیک^(۲) تا فروسرخ با طول موج کوتاه^(۳) ($0.4-2.5 \mu\text{m}$) و یا فروسرخ حرارتی^(۴) ($8-14 \mu\text{m}$)

انعکاس طیفی باند‌های مرئی و نزدیک مرئی به عنوان سریع‌ترین و ارزان‌ترین ابزار در تشخیص کانی‌شناسی نمونه‌ها و دستیابی به ترکیب شیمیایی آن‌هاست. موقعیت، شکل، عمق، پهنا و تقارن طیف عارضه‌هایی مانند کانی و سنگ به وسیله ساختار و ترکیب کانی جذب‌کننده تعیین

1. Log-Residual

2. Spectral Signature

3. Visible Near Infrared (VNIR)

4. Shortwave Infrared (SWIR)

5. Thermal Infrared (TIR)

* نویسنده مرتبط: Maanijou@yahoo.com

شامل تناوبی از نهشت‌های ولکانیک و ولکانو-کلاستیک ائوسن می‌باشد که از قدیم به جدید شامل آندزیت پورفیری، تراکی آندزیت و سنگ‌های آذر آواری که توسط دایک‌های دیابازی قطع شده‌اند (پالئوسن، ائوسن زیرین)، تراکی آندزیت و پیروکسن آندزیت، میکرودیوریت، گرانودیوریت، گدازه‌های بازالی و رسوبات کواترنری (شکل ۱) است.

توده سوناجیل پورفیری با ترکیب میکرودیوریتی، قدیمی‌ترین پالس نفوذ در طی ماقماطیسم ترشیری در منطقه است. این توده مرز مشخصی را با نهشت‌های ولکانیک و ولکانو-کلاستیک ائوسن در ضلع شمال‌شرقی- شمال‌غربی و جنوبی منطقه داشته و تزریق آن به درون این نهشت‌ها در توسعه دگرسانی و تغییر مشخصات تکتونیکی لایه‌ها موثر بوده است.

توده پورفیری سوناجیل دگرسانی‌های متنوعی از جمله پتاسیک، فیلیک، پروپلیتیک و آرزیلیک را در سطح بهنمایش گذاشته است. این توده یک استوک بیضوی با قطر بزرگ حدود ۵ کیلومتر و قطر کوچک ۲ تا ۲/۵ کیلومتر می‌باشد و قطر بزرگ آن در راستای شرقی- غربی قرار گرفته است.

دومین توده نفوذی در منطقه شامل تزریق توده گرانیتوئیدی اینچه به درون نهشت‌های ائوسن و توده پورفیری سوناجیل بوده است. توده مذکور که ترکیبی در حد کوارتزمنزونیت، سینودیوریت، گرانودیوریت، تا گابرو-دیوریت دارد در شمال توده پورفیری سوناجیل مرز مشخصی با آن داشته و در محل تماس، دایک‌های زیادی از این توده منشعب شده و در جهات مختلفی به درون توده پورفیری سوناجیل و سنگ‌های ولکانیک و ولکانو-کلاستیک ائوسن تزریق شده‌اند. تنوع ترکیبی این توده به‌واسطه زون‌بندی ترکیبی آن می‌باشد و در حواشی بازیک توده، ترکیب آن گابروئی تا گابرو-دیوریتی بوده و به‌سمت بخش مرکزی استوک ترکیب آن اسیدی تر می‌شود. آخرین فعالیت ماقماطی در محدوده مورد مطالعه مربوط به فعالیت آتش‌نشانی تراکی آندزیت بازالی تا تراکی آندزیتی اکوز داغی است.

دارند. بنابراین، عامل تعیین‌کننده جذب، مستقیماً به کانی‌شناسی نمونه مربوط می‌شود. طیف‌سنج بازتابی و حرارتی فضابرد پیشرفت‌های محسول مشترک ناسا و وزارت صنعت و تجارت اقتصادی ژاپن است. داده‌های سنجنده استربه علت اینکه طیف الکترومغناطیسی وسیعی از فروسرخ نزدیک تا فرو سرخ حرارتی را شامل می‌شود، در تشخیص کانی‌ها بخصوص در مطالعات دگرسانی به کار می‌رود (Di Tommaso and Rubinstein, 2007). در این زمینه مطالعات کانی‌شناسی و زمین‌شیمی در جهت تایید زمینی مطالعات سنجش از دور به کار می‌رود.

در این پژوهش به بررسی دگرسانی و گسلش معدن سوناجیل و نیز کانی‌شناسی و زمین‌شیمی آن به‌منظور شناسایی عوامل موثر بر اقتصادی شدن آن پرداخته شده است. محدوده اکتشافی سوناجیل در شمال‌غرب کشور، استان آذربایجان شرقی و شهرستان هریس واقع شده است. فاصله آن از شهر هریس ۱۷ کیلومتر می‌باشد. کانی‌سازی بخش مرکزی و شمال شرقی معدن سوناجیل به صورت مس پورفیری و در بخش غربی و جنوب غربی به صورت اپیترمال است. در طی اکتشاف $4/3$ تن طلا در بخش اپیترمال و دویست‌هزار تن مس در بخش رخمنون‌های پورفیری کشف شد (سازمان نظام مهندسی معدن، ۱۳۹۵).

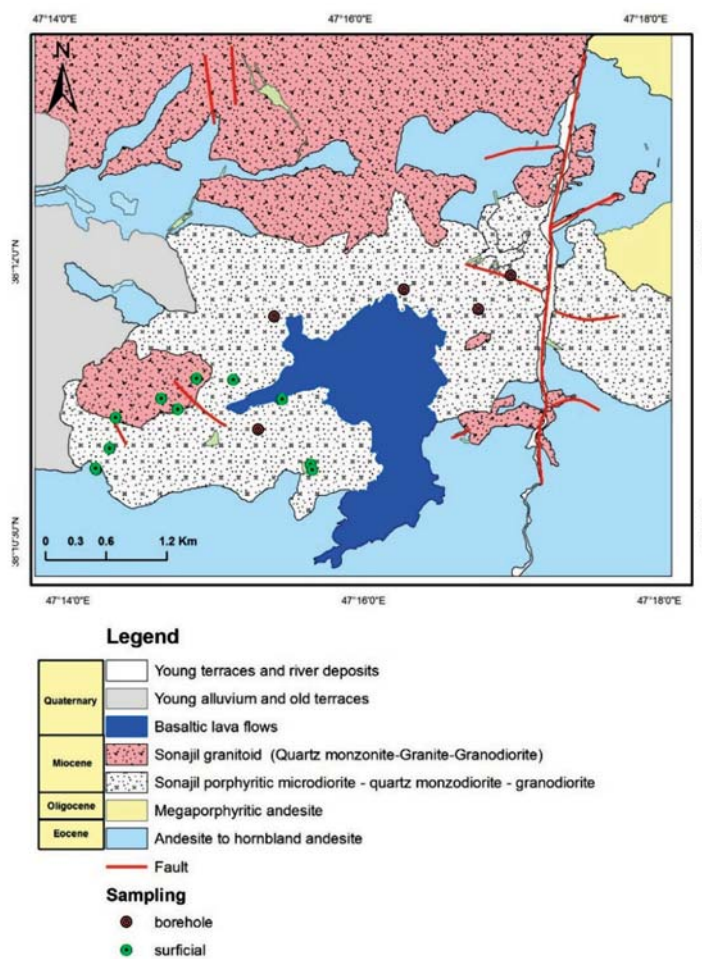
روش مطالعه

در طی عملیات صحراوی، حدود ۲۰ نمونه سطحی و مغزه از واحدهای اصلی به‌خصوص توده میکرودیوریت سوناجیل جهت تهیه مقاطع نازک و نازک-صیقلی برداشته شد. لیتولوزی و انواع دگرسانی نمونه‌ها با استفاده از میکروسکوپ نور عبوری و انعکاسی مطالعه شدند. همچنین حدود پنج ICP-MS نمونه از سنگ‌های کمرت دگرسان شده برای آنالیز به آزمایشگاه اکمه کانادا فرستاده شدند. نتایج زمین‌شیمی حاصل با استفاده از نرم‌افزارهای GCDkit بررسی شدند.

زمین‌شناسی

بررسی‌های صحراوی در محدوده کانسار سوناجیل نشان می‌دهد که سنگ‌های درونگیر توده پورفیری سوناجیل

1. Advanced Space Borne Thermal Emission and Reflection Radiometer (ASTER)



شکل ۱. نقشه زمین‌شناسی-دگرسانی منطقه سوناجیل همراه برش‌های عرضی و موقعیت محدوده مورد مطالعه در شمال غرب ایران (اقتباس از حسین‌زاده، ۱۳۸۷)

نویز دستگاهی، بازتابش و توبوگرافی را کاهش می‌دهد، بنابراین نتایج بیشتر نمایانگر عوارضی مانند خاک و لیتولوژی هستند و بیشتر با کتابخانه طیفی USGS قابل مقایسه‌اند (Dalton et al., 2004). در واقع این روش تصحیح مشابه IAR است، اما از روش‌های آماری استفاده می‌کند. در روش LR داده‌ها توسط بازنده‌های لگاریتمی طیف ورودی نرمال می‌شود. بعد از این تصحیح، ماسک NDVI (شاخص بهنجارشده پوشش گیاهی) به کار برده شد. این شاخص با استفاده از فرمول ۱ به دست می‌آید:

$$NDVI = \frac{NIR - red}{NIR + red} \quad (1)$$

در این فرمول NIR فروسرخ نزدیک یا باند ۳ استر و red بر باند ۲ منطبق است (Rowan et al., 1977)

پیش‌پردازش

از ۱۴ باند استر، ۶ باند از SWIR و ۳ باند از VNIR، بیشتر برای نقشه‌برداری زون‌های دگرسانی به کار می‌روند (Phienwej and Singh, 2005; Mars and Rowan, 2006; Di Tommaso and Rubinstein, 2007; Weldemariam, 2009). داده‌های Level-1A استر محصول پردازش نشده هستند، در حالی که داده‌های Level-1B نتیجه تصحیح هندسی و رادیومتری داده‌های Level-1A هستند (Rowan et al., 1977). در مرحله پیش‌پردازش روش Log-Residual (LR) برای حذف بازتابش خورشیدی، خطای دستگاهی و اثرات توبوگرافی و آلbedo از باندهای SWIR استر به کار رفت. این الگوریتم

$$ALI = (band\ 7/band\ 5) \times (band\ 7/band\ 8) \quad (4)$$

$$QI = \left(band11 / (band10 + band12) \right) \times \\ \left(band13 / band12 \right) \quad (5)$$

در این فرمول‌ها KLI، ALI، QI و OHI به ترتیب شاخص‌های کائولینیت، کوارتز، آلونیت و کانی‌های هیدروکسیل دار هستند که در مورد معدن سوناجیل به کار رفته‌اند (شکل ۲).

تحلیل مؤلفه اصلی

تبديل مولفه اصلی یک روش چندمتغیره آماری است که متغیرهای خطی ناهمبسته را به ترکیب‌های خطی با واریانس کمتر (PC) تبدیل می‌کند، (Mars and Rowan, 2006). مولفه‌های حاصل نشانه‌های طیفی مواد مختلف مانند کانی‌ها و پوشاش گیاهی را بر سطح زمین نشان می‌دهد. روش PCA انتخابی، نتیجه اجرای روش PCA بر باندهایی است که براساس مشخصات جذبی و انگکاسی کانی‌های مورد نظر انتخاب شده‌اند.

این روش بر باندهای ۷۸۹ و ۴۵۷ داده‌های تصحیح شده استر انجام شد تا دگرسانی پروپلیتیک و آرژیلیک را نشان دهد. سنگ‌های غنی از رس معمولًا در بالا و مرکز یک سامانه مس پورفیری و همچنین در حاشیه آن ایجاد می‌شوند و به عنوان دگرسانی‌های آرژیلیک و آرژیلیک پیشرفته شناخته می‌شوند. رایج‌ترین کانی‌های آرژیلیک پیشرفته آلونیت، دیاسپور، توپاز، کرونودوم، دومرتیریت^۱، پیریت و زونیائیت است (Kim and Park, 2003). کانی‌های غنی از سیلیس دگرسانی آرژیلیک دو خصوصیت طیفی مشخص دارند: ۱) یک خصوصیت انعکاسی باز در باند ۴ استر و ۲) یک جذب نزدیک طیف μm ۲/۳ (باند ۵)، در حالی که دیاسپور، کرونودوم و دومرتیریت مشخصه طیفی جذب در باندهای آخر استر دارند (شکل ۴). بنابراین علامت‌های بردار ویژه PC2 در PCA باندهای ۴۵۷ کرونودوم، دیاسپور و PC3 دو مرتبه است را نشان می‌دهد (حدوا، ۱).

پردازش

یکی از کاربردهای سنجش از دور در تعیین زون‌های دگرسانی است. روش‌های مختلفی برای نقشه‌برداری دگرسانی به کار می‌روند (معانی جو و همکاران، ۱۳۹۵؛ آلیانی و همکاران، ۱۳۹۳). در این پژوهش از روش‌های ترکیب رنگی کاذب (FCC)، نسبت باندی (BR) و تحلیل مولفه اصلی (PCA) استفاده شده است.

ترکیب رنگی کاذب

بر طبق طیف کانی‌های کتابخانه USGS، انعکاس بیشتر کانی‌های Al-OH مانند مسکویت، کائولینیت، مونتوریونیت و ایلیت (کانی‌های دگرسانی فیلیک و آرژیلیک) در باند ۴ SWIR است و انعکاس قابل توجه کانی‌های Mg-OH دار از قبیل اپیدوت و کلریت (کانی‌های زون پروپولیتیک) در باندهای ۴ و ۵ SWIR است (شکل ۲-الف). بنابراین تصویر RGB در باندهای ۴۶۸ (Yetkin, 2003) این دگرسانی را به خوبی نشان می‌دهد. در تصویر حاصل، زون‌های فیلیک و آرژیلیک صورتی تا قرمز و زون پروپولیتیک سبز (Pour and Hashim, 2012b) و سنگ‌های آتشفسانی دگرسان نشده آبی-خاکستری هستند (Zhang et al., 2007). این روش در کانسار طلای ساری گونی نتایج خوبی داده است (معانی جو و همکاران، ۱۳۹۴).

نسبت پاندی

نسبت باندی روشی کاربردی در تشخیص مجموعه کانی‌های انواع دگرسانی‌های مختلف با استفاده از حذف مقادیر ثابت تابشی و توسعه اختلافات طیفی است (Crippen et al., 1988; Phienwej and Singh, 2005; Weldemariam, 2009).

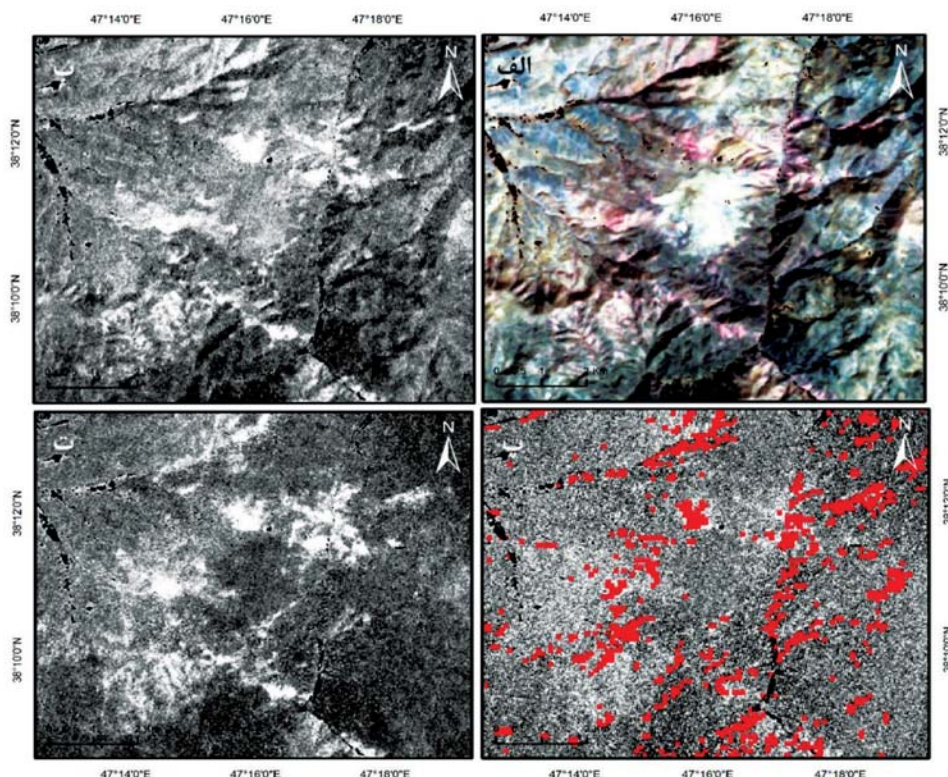
نینومیا (Ninomiya 2003) چهار شاخص را با استفاده از شش باند SWIR پیشنهاد داد. معادله ۵ شاخص کوارتر (Bonham Jr, 1986; John et al., 2010) را با استفاده از ۴ باند TIR به دست می‌آورد،

$$OHI = (\text{band 7}/\text{band 6}) \times (\text{band 4}/\text{band 6}) \quad (2)$$

$$KLI = (band\ 4/band\ 5) \times (band\ 8/band\ 6) \quad (3)$$

1 Dumortierite

1.1. Dumbbell



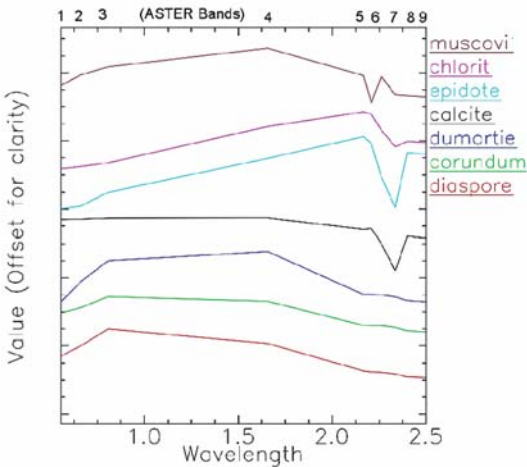
شکل ۲. الف) تصویر ترکیب رنگی کاذب ۴۶۸ و شاخص‌های b) OH، پ) آلونیت منطبق بر پیکسل‌های قرمز نمایانگر شاخص کوارتز و ت) کاثولینیت، معدن سوناجیل

می‌شود. همان‌طور که گفته شد، منطقه شمال و شمال شرق با کانه‌زایی پورفیری و منطقه غرب و جنوب غرب با کانه‌زایی اپیترمال مرتبط است.

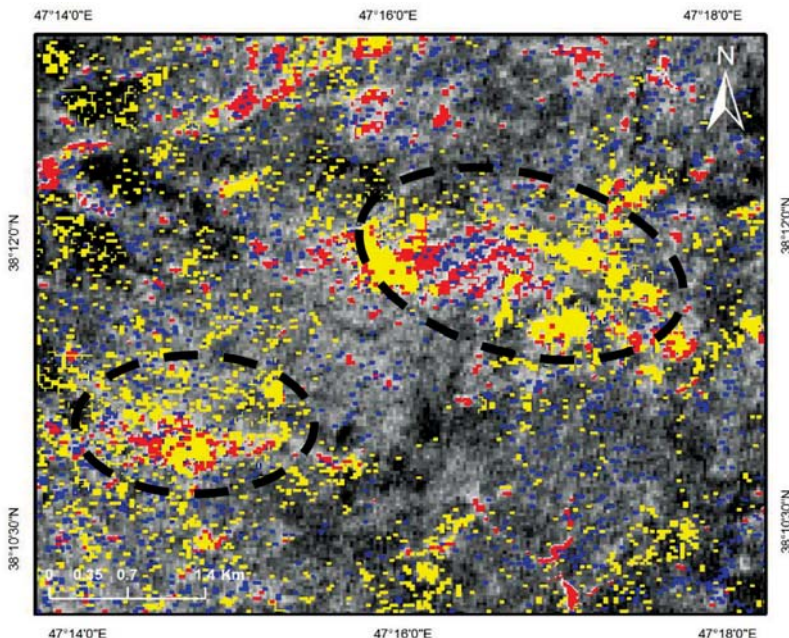
جدول ۱. ماتریس بردارهای ویژه تحلیل مولفه اصلی بر بااندهای ۴۵۶ استر منطقه سوناجیل. زون فیلیک در PC3 آشکار می‌شود

	PC1	PC2	PC3
Band 4	.. ۶۱۳۱۱۷	.. ۷۸۸۹۵۰	.. ۰۴۰۵۶۱
Band 6	.. ۵۵۹۷۹۶	-.. ۳۹۷۶۵۹	-.. ۷۲۶۹۷۸
Band 7	.. ۵۵۷۴۲۰	-.. ۴۶۸۴۲۸	.. ۶۸۵۴۶۲
Band 4	.. ۶۲۶۱۹۶	.. ۷۷۵۰۹۹	-.. ۰۸۴۲۶۴
Band 5	.. ۵۳۱۵۶۹	-.. ۵۰۳۴۹۷	-.. ۶۸۱۱۲۱
Band 7	.. ۵۷۰۳۶۳	-.. ۳۸۱۷۲۲	.. ۷۲۷۳۰۶
Band 7	-.. ۵۸۵۲۱۱	-.. ۴۸۶۴۷۰	-.. ۶۴۸۷۴۹
Band 8	-.. ۶۰۴۰۳۵	-.. ۲۷۲۲۳۹	.. ۷۴۹۰۱۸
Band 9	-.. ۵۴۰۹۸۹	.. ۸۳۰۲۰۱	-.. ۱۳۴۵۲۷

همچنین کلسیت، کلریت و اپیدوت کانی‌های دگرسانی پروپلیتیک هستند که یک مشخصه جذب در μm ۲/۳۵ یا باند ۸ دارند (جدول ۱ و شکل ۳) (Hunt, 1977; Rowan et al., 1977; Hunt and Ashley, 1979; Spatz and Wilson, 1995; Dalton et al., 2004; Mars and Rowan, 2006; Rowan et al., 2006; Pour and Hashim, 2011) در نتیجه علامت منفی در باند ۸ PCA در روشن PC3 سه باند ۷۸۹ نشان‌دهنده رخداد این کانی‌ها و دگرسانی پروپلیتیک است. در معدن سوناجیل دگرسانی‌های فیلیک (PC3)، آرژیلیک پیشرفت (PC2) و پروپلیتیک (PC3) به ترتیب به وسیله بااندهای ۴۵۷، ۴۶۷ و ۷۸۹ (جدول ۱) به دست آمد (شکل ۴). تصویر استخراج شده بر نتایج زمینی منطبق است. تمرکز دگرسانی فیلیک و آرژیلیک در شمال، شمال شرق و جنوب غرب و غرب توده بازالتی اکوزداغی بهوضوح دیده



شکل ۳. مشخصه جذب کلسیت، کلریت و اپیدوت در $2/25 \mu\text{m}$ (باند ۸) و دومرتئیت، کرونندوم و دیاسپور در باندهای آخر استر



شکل ۴. تصویر حاصل تحلیل مولفه اصلی بر ۳ باند منطقه سوناجیل، PC3 با پیکسل‌های زرد، PC2 با باندهای ۴۶۷ و PC3 با باندهای ۷۸۹ با رنگ آبی به ترتیب بیانگر زون‌های فیلیک، آرژیلیک پیشرفته و پروپلیتیک هستند. مرکز دگرسانی در دو محدوده کانه‌زایی اصلی شمال شرقی و غربی معدن به‌وضوح مشخص است

شاخص‌های طیفی عضو نهایی زمینه^۳ را به دست آورده است و از روش اختلاط طیفی^۴، قدرت ناشی از مدل پیکسل مخلوط و محدودیت مقادیر ناممکن^۵ را دریافت کرده است.

1. Mixture-Tuned Matched-Filtering
2. Linear Spectral Unmixing
3. Matched Filtering
4. Background end-member signatures
5. Spectral Mixture

فیلترینگ تطبیق‌یافته تنظیم اختلاط (MTMF) روش فیلترینگ تطبیق‌یافته تنظیم اختلاط (MTMF)، ترکیبی از دو روش آشکارسازی خطی عدم اختلاط طیف (LSU^۶) و مدل آماری فیلترینگ تطبیق‌یافته (MF^۷) است. این روش، از روش فیلترینگ تطبیق‌یافته، توانایی نقشه‌برداری از یک هدف معین بدون شناسایی دیگر

سوناجیل با استفاده از روش گرم-اشمیت^۱، تصویر مولفه اصلی PC1 بهمنظور استخراج خطواره‌ها با استفاده از نرمافزار Geomatica به کار رفت. بعد از تصحیح و شکستن خطواره‌های حاصل و نیز رسم تراکم گسلش بهوسیله نرم‌افزار ARCGIS، رز دیاگرام‌های منطقه مورد مطالعه با استفاده از نرم‌افزار Rockwork رسم شد.

مقایسه خطواره‌ها و گسلش در این معدن، تراکم خطواره‌های منطقه سوناجیل را بسیار پایین نشان می‌دهد (شکل ۷). همچنین میانگین روند گسلش در معدن سوناجیل ۸۶/۶ درجه است، که این روند تقریباً مشابه روند گسلش معدن میرکوه علی‌میرزا است (Maghsoudi et al., 2014). این معدن در ۳۰ کیلومتری جنوب‌شرق معدن سوناجیل قرار دارد و هم‌سن معدن سوناجیل (Jamali and Mehrabi, 2014) است. این سه معدن مس-طلای پورفیری-اپی‌ترمال هستند و در زون کانه‌زایی مس-طلای پورفیری کمربند آتش‌شانی اهر-ارسبارن واقع شده‌اند. میزان گسلش در بخش غربی که به محدوده طلادر اپی‌ترمال مربوط می‌شود بیشتر است و این می‌تواند در گردش سیالات این ناحیه تاثیر گذاشته باشد.

مطالعه زمین‌شیمی

در نمودار وینچستر و فلويد (Winchester and Floyd, 1977) نمونه‌های معدن سوناجیل در ناحیه دیوریت تا سینودیوریت قرار گرفته‌اند (شکل ۸-الف). بر اساس نمودار پیرس (Pearce, 1996)، توده پورفیری معدن سوناجیل در نتیجه رخدادهای پس از برخورد کوه‌زایی تشکیل شد (شکل ۸-ب). همچنین رسم داده‌های زمین‌شیمی در نمودار پیرس و همکاران، (Pearce et al., 1984) در سری شوشاونیتی قرار گرفت (شکل ۸-پ).

در نتیجه این روش از روش‌های زیریکسلی دربرگیرنده هر دو روش فیلترینگ تطبیق‌یافته و اختلاط طیفی است (Pour and Hashim, 2012a).

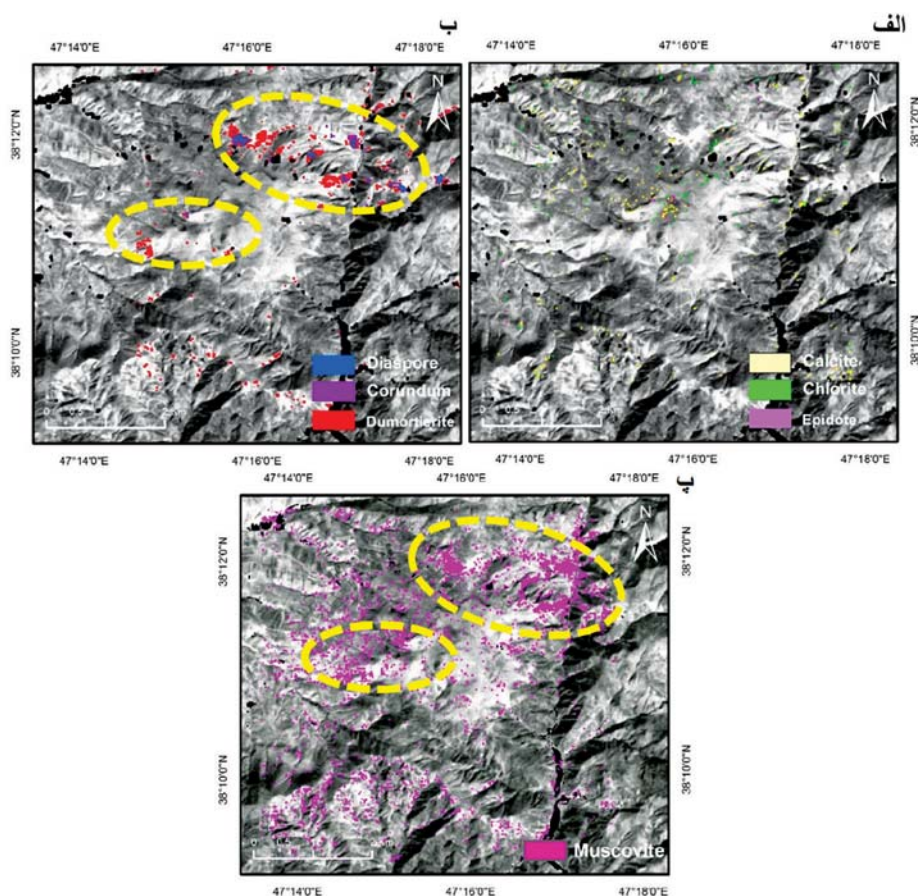
روش MTMF دارای دو تصویر خروجی است (شکل‌های ۵ و ۶). در این روش، مقادیر MF بالا و مقادیر ناممکن پایین بیشتر به هدف نزدیک هستند (شکل ۶). به کارگیری این روش در منطقه مورد مطالعه نیز مانند روش‌های پیشین دو محدوده اصلی دگرسانی فیلیک و آرژیلیک و دگرسانی پراکنده پروپلیتیک را تایید کرد (شکل ۵).

مطالعه خطواره‌ها و گسلش منطقه

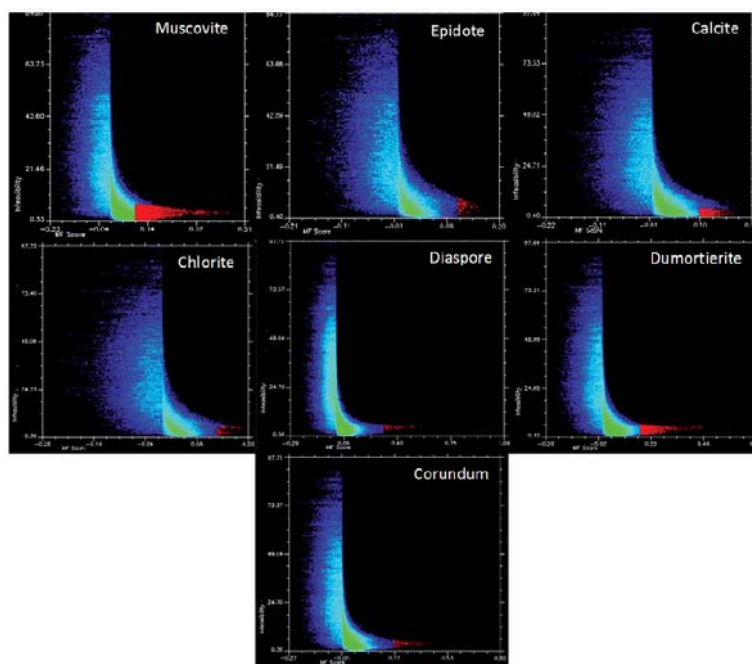
یکی دیگر از کاربردهای سنجش از دور، مطالعه گسلش و خطواره‌ها است. در کل، عارضه‌های خطی توسط حاشیه‌هایی با اختلاف روشنایی در تصویر ایجاد می‌شود که ممکن است به سختی قابل شناسایی باشد. این خطواره‌ها می‌توانند (۱) رود خطی شکل یا دره، (۲) گودال سطحی خطی شکل، (۳) تغییرات توناز خاک، (۴) تغییرات ترازیندی در پوشش گیاهی، (۵) تغییرات ارتفاع یا نوع پوشش گیاهی، یا (۶) تغییرات ناگهانی در توپوگرافی باشد. تمام این تغییرات می‌توانند ناشی از تغییرات ساختاری مانند گسلش، مجموعه درزهای، چین‌خوردگی یا شکستگی‌ها باشد (Canals et al., 1992). مطالعه این خطواره‌ها به‌طور موفقیت‌آمیزی در مطالعه سامانه‌های کانه‌ساز، اکتشافات معدنی و نفتی و مطالعات آب زیرزمینی کاربرد داشته است (Krauskopf, 1979; Huston and Large 1989; Barnes 1997; Einaudi et al., 2003; Ogg et al., 2008; Pirajno, 2009; Reichenbacher et al., 2011; Kouzmanov and Pokrovski 2012; Zajzon et al., 2015 ; Fontboté et al. 2017).

با استفاده از فنون بارزسازی^۲ مانند نسبت باندی، به کارگیری فیلترهای جهتی تشخیص حاشیه^۳ (Vaziri and Sobhani, 1977) و یا با کاربرد نرم‌افزارها و الگوریتم‌های رایانه‌ای (Jahangiri, 2007) می‌توان خطواره‌ها را استخراج کرد. در این مطالعه بعد از تصحیح تصویر OLI8 منطقه

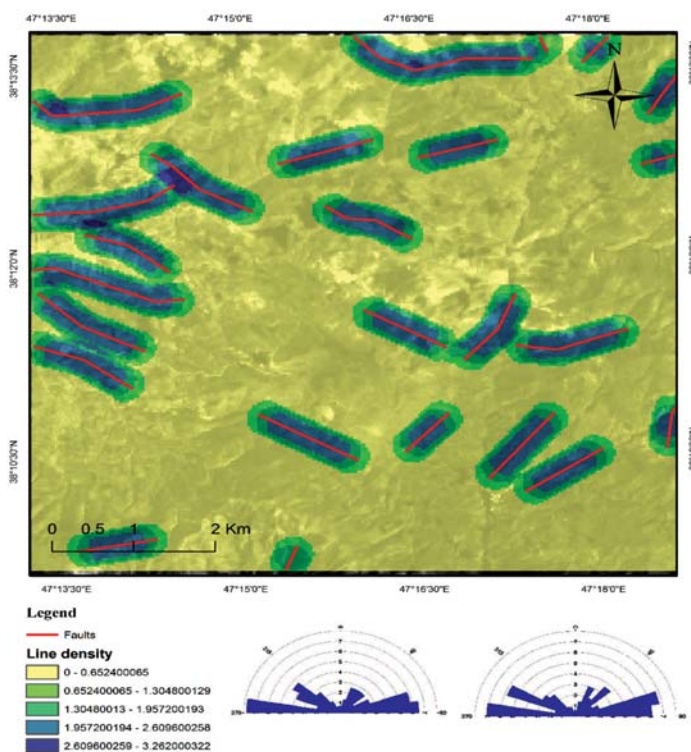
1. infeasibility
2. Enhancement
3. Directional edge-detection
4. Gram-Schmidt



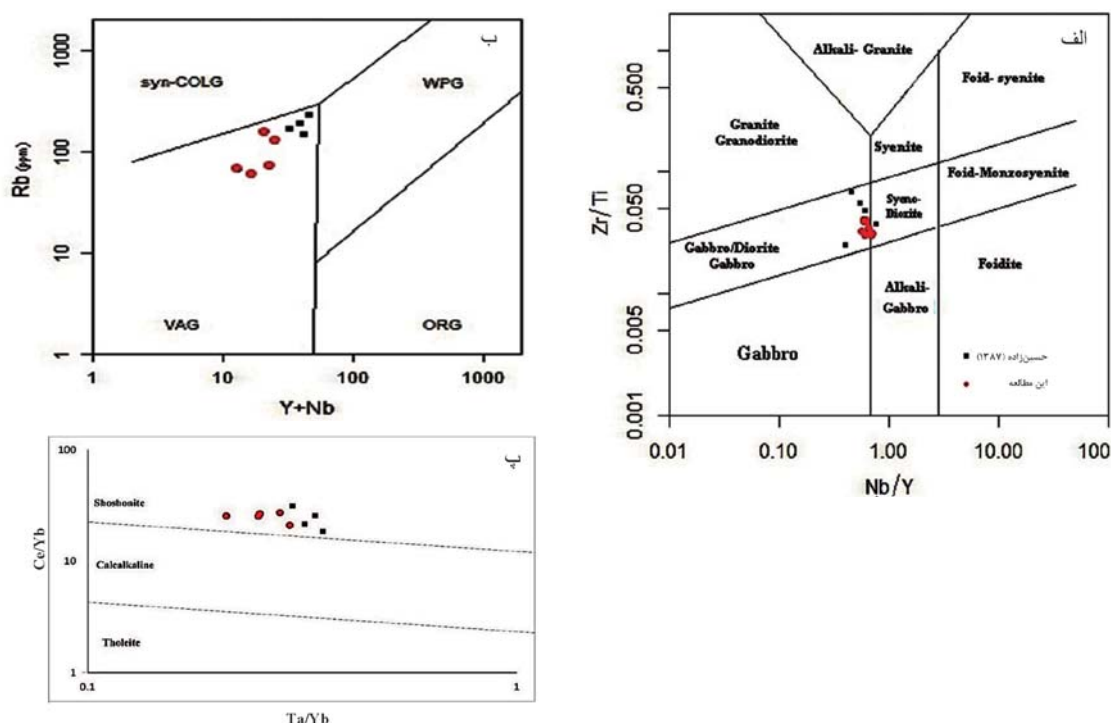
شکل ۵. نتایج روش MTMF مجموعه کانی‌های زون پروپلیتیک، (الف)، آرژیلیک پیشرفت، (ب) و فیلیک، (پ) بر روی باند ۴ است. محدوده‌های اصلی کانه‌زایی معدن پورفیری-ابی‌ترمال سوناجیل تایید‌کننده نتایج پیشین است



شکل ۶. نمودار پراکنش دوبعدی مقادیر MF و مقادیر ناممکن کانی‌های اصلی سه زون اصلی فیلیک، آرژیلیک و پروپلیتیک

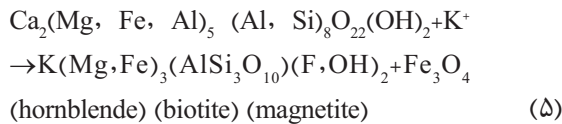


شکل ۷. تصویر تراکم خطواره‌های تصحیح شده (گسلش) معدن سوناجیل به همراه رزدیاگرام‌های فراوانی (سمت راست) و طولی (سمت چپ)، تراکم گسلش در بخش غربی به خوبی دیده می‌شود.



شکل ۸. موقعیت قارگیری نمونه‌های معدن سوناجیل در نمودارهای (الف) وینچستر و فلوید (1977)، (ب) پیرس (Pearce et al., 1984)، (پ) پیرس و همکاران، (Pearce, 1996)

هیدروترمال ثانویه (شکل ۱۰-ت)، که عمدتاً قهقهه‌ای کمرنگ تا سبزرنگ است و غنی از منیزیم (Hezarkhani, 2008). این نوع بیوتیت در محیط‌های پورفیری معمول هستند (Green and Pearson, 1985). واکنش ۵ تشکیل بیوتیت ثانویه از هورنبلنده را نشان می‌دهد.



تورمالین از کانی‌هایی است که به‌ویژه در گرانیت اینچه دیده می‌شود (شکل ۱۰-پ). بافت اسفلولیتی و شعاعی آن‌ها نشان‌دهنده تهنشینی سریع از محلول بسیار غنی‌شده است (Canals et al., 1992). در ذخایر پورفیری، تورمالین می‌تواند در زون‌های آرزیلیک، پروپلیتیک، فیلیک و پتاسیک در جاهایی که ترجیحاً جایگزین کانی‌های فرومینیزین شده‌اند، دیده شود. زون آرزیلیک پیشرفت‌نه نیز علاوه بر کانی‌های تیپیک دیکیت، کائولینیت، پیروفیلیت، باریت، آلونیت و دیاسپور، می‌تواند دارای تورمالین، توپاز و کانی‌های سولفیدی باشد. در این دگرسانی، کانی‌هایی سولفیدی می‌تواند کوولیت، دیزیت و انارزیت باشد که بیانگر نسبت بالای گوگرد به فلز است. منشاً بر در گرانیت تورمالین دار غنی از تورمالین یا اکسلوشن بخش بخاری از مراحل تاخیری انجماد باشد (Pirajno, 2009).

بر اساس نظر سیلیتو (2010), توالی رگچه‌ای در ذخایر مس پورفیری می‌تواند به سه گروه تقسیم شود: (۱) رگچه‌های کوارتری اولیه بدون سولفید حاوی یک یا چند کانی مگنتیت (نوع M)، اکتینولیت، بیوتیت (اولیه)، (EB)، فلدسپار پتاسیم و به‌طور خاصی فاقد هاله دگرسانی، (۲) رگچه‌های سولفیددار کوارتردار دانه‌ای^۱ با هاله‌های دگرسانی نازک یا به‌راحتی قابل تشخیص (انواع A و B)، (۳) رگه‌ها و رگچه‌های کوارتر-سولفیدی متبلور تاخیری با هاله دگرسانی فلدسپار غالب (نوع D).

معدن سوناجیل یک معدن Cu-Au پورفیری-ابی‌ترمال است و رگچه‌های نوع B در آن حضور ندارد و رگچه‌های نوع D فراوانی کمی دارند. دگرسانی آرزیلیک در معدن سوناجیل گسترش زیادی دارد.

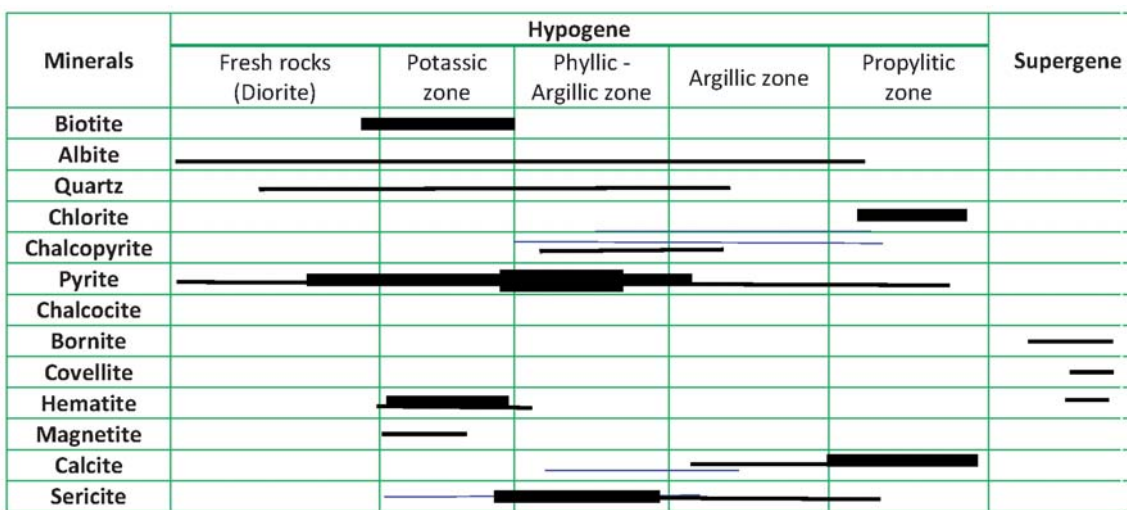
مطالعه کانی‌شناسی

کانی‌شناسی هیپوزن در توده سوناجیل پورفیری به صورت افسان، رگه-رگچه‌ای سیلیسی و نیز به صورت رگه‌ای در حاشیه توده مشاهده می‌شود. بیشترین حجم کانی‌سازی هیپوزن در زون دگرسانی پتاسیک و به میزان کمتری در زون فیلیک رخ داده است. کانی‌های سولفیدی در این توده عبارتند از پیریت، کالکوپیریت، بورنیت (شکل ۱۰-الف). پیریت اغلب به شکل بوهدرا ال تا اندرال حضور داشته و توسط کالکوپیریت و بورنیت جانشین شده است. کالکوپیریت مهمترین کانی سولفیدی مس در توده سوناجیل پورفیری بوده و به صورت افسان در کنار محصولات دگرسانی و کانی‌های فرومینیزین و جانشینی به جای پیریت و همچنین داخل رگه-رگچه‌های سیلیسی دیده می‌شود. بورنیت نیز همانند سایر سولفیدها به شکل افسان و رگه-رگچه‌ای سیلیسی و نیز در رگه‌های سولفیدی حاشیه‌ای حضور داشته و جانشین کالکوپیریت شده است. همان‌تی و گوئیتیت کانی‌های اکسیدی فراوان توده سوناجیل پورفیری بوده و همراه با محصولات دگرسانی زون‌های پتاسیک و کمتر با فیلیک مشاهده می‌شوند (شکل ۹).

در طی فرآیند سوپرزن کانی‌های رسی از جمله ایلیت، کائولینیت، مونتموریونیت و کلریت، اکسیدهای آهن همان‌تی، گوتیت، لیمونیت و جاروسیت پدیدار شده‌اند. زون‌های اکسیدی و سولفیدی سوپرزن از تاثیر سیالات جوی بر توده پورفیری سوناجیل حاصل شده‌اند. در توده پورفیری سوناجیل کالکوپیریت به‌طور بخشی توسط کالکوسیت و کوولیت سوپرزن جانشین شده‌اند. کالکوسیت و کوولیت کمتر به شکل افسان در سنگ دیده می‌شوند و اصولاً زون سوپرزن قابل توجه و غنی در این کانسارت تشکیل نشده است. در برخی از مناطق زون سوپرزن به صورت محدود و کم ضخامت تشکیل شده است که با کانی‌سازی افسان و رگه‌ای کالکوسیت و کوولیت مشخص می‌شود (شکل ۱۰-الف).

در زون‌های اکسیدی سوپرزن (بالای سطح آب زیرزمینی) سولفیدهای اولیه به کربنات‌های مس (مالاکیت و آزوریت) تبدیل شده‌اند.

دو نوع بیوتیت در ذخیره سوناجیل دیده می‌شود: (۱) بیوتیت اولیه، غنی از آهن و قهقهه‌ای رنگ، (۲) بیوتیت



شکل ۹. توالی پارازئتر معدن سوناجیل

جدول ۲. خصوصیات رگچه‌های زون‌های دگرسانی یک سامانه پورفیری (Sillitoe, 2010)

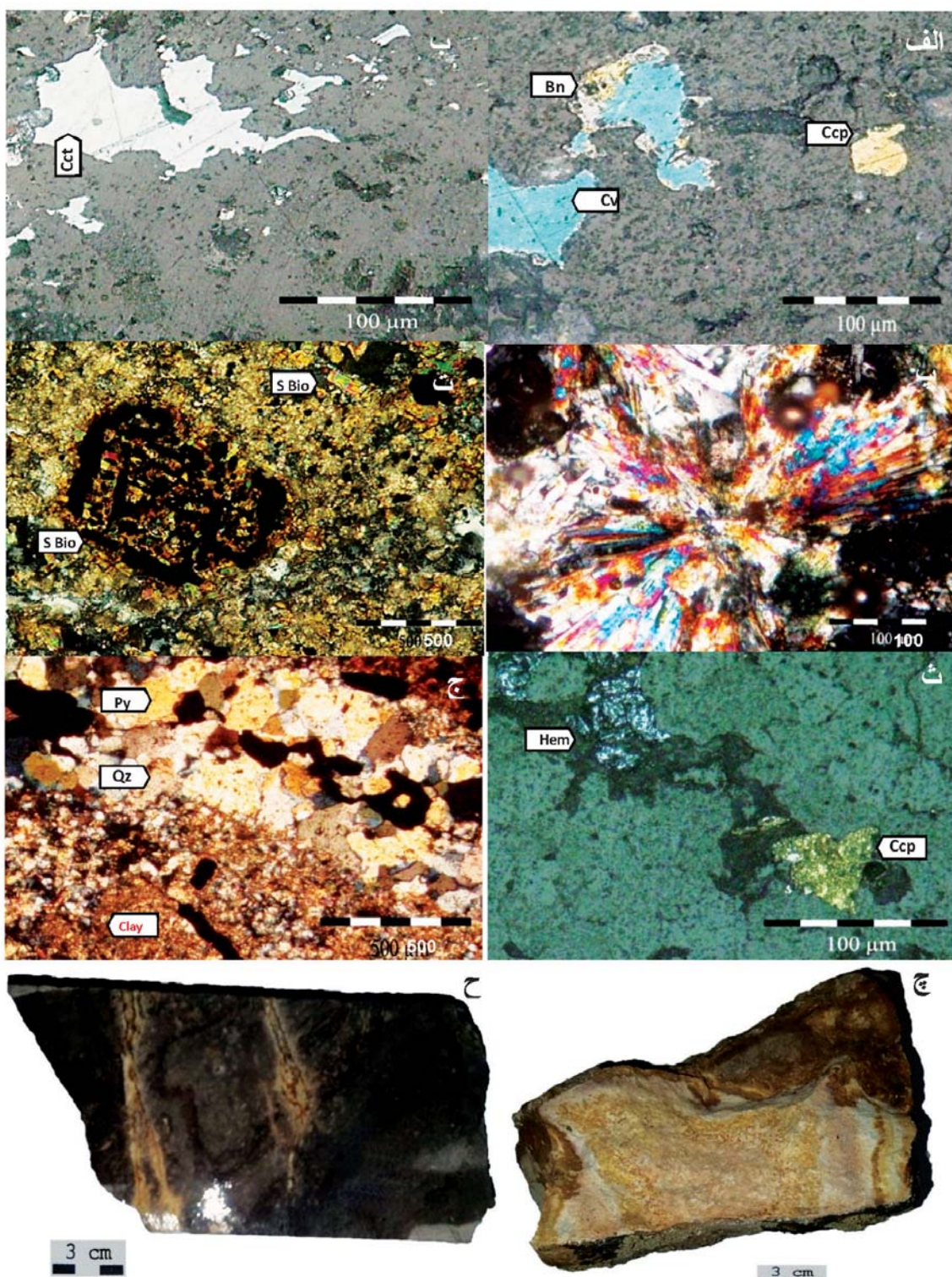
حاشیه رگچه‌ای	رگچه‌های همزمان	نوع دگرسانی
مگنتیت \pm اکتینولیت (نوع M)	سدیک-کلسیک	
آبیت-الیگوکلاز		
بیوتیت (نوع K)، فلدسپار، کواتر-بیوتیت- سریسیت \pm بیوتیت-K- فلدسپار		
سریسیت-K- فلدسپار- آندالوزیت- سولفیدها \pm آندالوزیت+ کالکوپیریت افسان+ برنتیت؛ باقی		
مگنتیت (نوع A)، کوارتر-مولیبدنیت \pm کانی‌ها نیستند بجز K- فلدسپار در اطراف انواع		پتاسیک (K-سیلیکات)
B و A	پیریت \pm کالکوپیریت (زمیندرز مرکزی)، نوع (B)	
کلریت، سریسیت/ایلیت	پروپیلیتیک	
کوارتر-پیریت \pm دیگر سولفیدها	کلریت-سریسیت-رس-کلریت [SCC]	
پیریت-انارژیت \pm سولفیدها Cu (دربرگیرنده کوارتر-آلونیت، کوارتر-پروفیلیت/دیکیت، کوارتر-	سریسیتیک (فیلیک)	
کانولینیت	آرژیلیک پیشرفته	
رگه‌ها)		

جدول ۳. انواع رگچه‌های دارای کوارتر معدن سوناجیل و کانی‌شناسی آن‌ها

Veinlet type	Minerals	Dominant alteration
A1	Quartz + Pyrite \pm Chalcocite \pm Covelite \pm Chalcopyrite	Potassic-Argillic
A2	Quartz + Magnetite \pm Hematite	Potassic-Argillic
D	Quartz + Hematite	Phyllitic-Argillic

انواع رگچه‌ها در معدن سوناجیل (جدول ۳) عبارتند از:
 A1) کوارتر + پیریت \pm کالکوپیریت \pm کوولیت \pm کالکوپیریت (شکل ۱۰-الف و ب).
 A2) کوارتر + مگنتیت + هماتیت (شکل ۱۰-خ)، کوارتر + هماتیت (شکل ۱۰-ج)، کوارتر + هماتیت (شکل ۱۰-ح).

همبستگی ویژه قوی بین شدت رگچه کوارتر و میزان فلز در بیشتر ذخایر مس پورفیری به ویژه در انواع غنی از طلا وجود دارد (Chen et al., 2004). در نتیجه، تنوع پایین رگچه‌های کوارتری در معدن سوناجیل منعکس کننده میزان فلز پایین آن است.



شکل ۱۰. الف) تصاویر نوری انعکاسی از کوولیت (Cov)، کالکوپیریت (Cpy) و بورنیت (Bor)، ب) کالکوسیت (Cc)، پ) کالکوسیت (Cc) از تورمالین در گرانیت اینچه و ث) بیوتیت (Bio) شدن هورنبلند، رنگپریدگی و سیزرنگ بودن این بیوتیتها نشان‌دهنده منشا گرمابی و منزیم دار بودن آن‌هاست، معدن سوناجیل. ث) رگچه نوع A1، ج) رگچه نوع A2، (Whitney and Evans, 2010)، چ) نمونه دستی از دگرسانی آژیلیک، ح) نمونه دستی از میکرودیوریت (سوناجیل پورفیری)

نتایج و بحث

فیلیک اتفاق افتاده است. زون فیلیک محیط مناسبی جهت انتقال سیال کانه‌زا به یک محیط اپیترمال را فراهم می‌کند. همچنین تراکم نسبتاً بیشتر گسلش در منطقه غربی معدن به سیالات کانه‌ساز اجازه عبور و تشکیل کانه‌زایی اپیترمال داده است. گسترش دگرسانی آرژیلیک پیشرفته در منطقه نشان می‌دهد که اسیدیته سیال کانه‌زا بالا بوده و با افت دما به علت تبدیل SO_2 به سولفید و سولفات بیشتر شده است (Giggenbach, 1992). از طرفی دیگر آندزیتی بودن سنگ میزان نیز در سولفیدزدایی سیال توسط آهن و در نتیجه مصرف کمپلکس سولفیددار و تنهشست پراکنده سولفیدها قبل از رسیدن به محیط مناسب موثر بوده است.

همچنین تراکم پایین شکستگی بهخصوص در بخش شرقی معدن سوناجیل (در مقایسه با معادن سونگون و کیقال)، می‌تواند به علت کم بودن سیالات کانه‌زا باشد که این ناشی از ترکیب تقریباً بازیکی ماغمای منشا آن است. کم بودن شکستگی‌ها منجر به چرخش محدودتر سیالات و کم توسعه شدن ذخیره سوپرژن نیز می‌شود. عمق زیاد؛ (۶-۴ km) تشکیل معدن سوناجیل (رمضانی، ۱۳۹۷؛ Hezarkhani, 2008) نیز می‌تواند از عوامل موثر دیگر در نیمه‌اقتصادی بودن این بخش ذکر کرد. عمق بیشتر کانه‌زایی کارایی استخراج مس را با کاهش ضریب تفکیک کلر بین ماغما و فاز آبگین، کاهش می‌دهد (Lukanin, 2016).

علاوه بر این، شرایط فشار بالا منجر به مصرف مس در کانی‌های سیلیکاته می‌شود، زیرا انباست آب تا مراحل آخر تبلور به تاخیر می‌افتد (Yang and Bodnar, 1994). در نتیجه عیار مس این ذخیره پایین است.

نتیجه‌گیری

از مطالعه حاضر نتایج زیر به دست آمد:

1. تعیین زون‌های دگرسانی فیلیک، آرژیلیک پیشرفته و پروپلیتیک، پراکنده و عدم تمرکز و شدت زون فیلیک را نشان داد.
2. نتایج کانی‌شناسی دگرسانی‌های حاصل را تایید کرد. تنوع کم رگچه‌های کوارتزی می‌تواند متاثر از شدت کم کانه‌زایی معدن در بخش شرقی معدن باشد.

هنریچ (Heinrich, 2005) چهار شرط را برای تشکیل یک ذخیره اپیترمال بارور معرفی کرده است:

1. سرد شدن سیال در یک محیط فشار بالا (در نزدیکی مرز شکننده-شکل‌پذیر).
 2. مقدار ابتدایی بالای H_2S به طور غیرمعمول، مقدار پایین Cl/OH در ماغما می‌تواند سیالاتی تک فازی با شوری پایین و مقدار ابتدایی $\text{FeCl}_2/\text{H}_2\text{S}$ ایجاد کند. در ماغماهای کالک‌آلکالن، جدایش مایع هایپرسالین از بخار در دمای بالا، تاثیر زیادی دارد زیرا آهن ترجیحاً وارد فاز مایع می‌شود و گونه‌های گوگردی وارد فاز بخار می‌شوند. در این شرایط، طلا به طور بهینه وارد فاز بخار می‌شود.
 3. خنثی‌سازی اسید توسط واکنش با سنگ دیواره در طول سرد شدن: در طول سرد شدن سیال ماغمایی با سنگ دیواره‌ای با ترکیب حدواتسط، سولفیدزدایی سیال با آهن با اثر خنثی‌کننده H^+ فرآیند مخرب فلدسپار در طی دگرسانی رقابت می‌کند. در نتیجه بهترین مسیر تکامل شیمیایی برای انتقال موثر طلا، زون‌های گسترده پیریت-مسکویت (\pm کانی‌های رسی \pm سولفات \pm کربنات) است که از مصرف H_2S جلوگیری می‌کند. این شرایط در بخش بالایی ذخایر پورفیری فراهم می‌شود.
 4. درجه بالایی از عدم تعادل برای تنهشست طلا مورد نیاز است. عواملی مانند سولفیدزدایی بهوسیله سنگ آهن دار دیواره، اختلاط با آب زیرزمینی یا از دست دادن سولفید بخار چگالی پایین باعث عدم تعادل سیال و کاهش انحلال طلا می‌شود.
- بر این اساس، معدن سوناجیل شرایط تشکیل یک معدن اپیترمال اقتصادی را دارد، اما احتمالاً کالک‌آلکالن و فلسیک نبودن توده آذرین این ذخیره بر میزان کانه‌زایی آن تاثیر گذاشته است. درواقع، در صورت کالک‌آلکالن و فلسیک بودن این ذخیره، گونه‌های سولفیدی به طور بهینه‌تری به فاز بخاری منتقل می‌شوند.
- بخش اپیترمال معدن سوناجیل در منطقه تمرکز زون

- Bonham Jr. H.F. 1986. Models for volcanic-hosted epithermal precious metal deposits: a review. Proceedings of the Volcanism, hydrothermal systems and related mineralization: Hamilton, New Zealand, Proceedings International Volcanological Congress, Symposium.
- Canals, A., Cardellach, E., Rye, D.M. and Ayora, C., 1992. Origin of the Atrevida Vein (Catalonian coastal ranges, Spain); mineralogic, fluid inclusion, and stable isotope study. Economic Geology, 87, 142–153.
- Chen, Y.J., Pirajno, F. and Sui, Y-H., 2004. Isotope geochemistry of the Tieluping silver-lead deposit, Henan, China: A case study of orogenic silver-dominated deposits and related tectonic setting. Mineral Deposita, 39, 560–575.
- Crippen, R.E., Blom, R.G. and Heyada, J.R., 1988. Directed band ratioing for the retention of perceptually-independent topographic expression in chromaticity-enhanced imagery. Remote Sensing, 9, 749–765.
- Dalton, J.B., Bove, D.J., Mladinich, C.S. and Rockwell, B.W., 2004. Identification of spectrally similar materials using the USGS Tetracorder algorithm: the calcite–epidote–chlorite problem. Remote Sensing of Environment, 89, 455–466.
- Di Tommaso, I. and Rubinstein, N., 2007. Hydrothermal alteration mapping using ASTER data in the Infiernillo porphyry deposit, Argentina. Ore Geology Reviews, 32, 275–290.
- Einaudi, M.T., Hedenquist, J.W. and Inan, E.E., 2003. Sulfidation state of fluids in active and extinct hydrothermal systems: transitions from porphyry to epithermal environments. Special Publication-Society of Economic Geologists, 10, 285–314.
- Fontboté, L., Kouzmanov, K., Chiaradia,

۳. بررسی زمین‌شیمی نمونه‌های سوناجیل نشان دهنده میکرودیوریتی بودن و شوشونیتی بودن و پس از کوه‌زایی بودن سنگ منشا کانه‌زایی معدن است که به معدن پورفیری-اپی‌ترمال میرکوه علی‌میرزا شباهت دارد. در کل نتایج حاصل با توجه به مطالعات هنریچ (Heinrich, 2005) نشان می‌دهد، که ترکیب نسبی بازیک سنگ نفوذی و در نتیجه کاهش میزان سیالات و تراکم گسلش متغیر منطقه می‌تواند منجر به پراکندگی کانه‌زایی معدن سوناجیل شده باشد. همچنین عمق زیاد کانه‌زایی، می‌تواند بر میزان مس این ذخیره تاثیر گذاشته باشد. اما تراکم بیشتر گسلش در بخش غربی در کانه‌زایی طلای اپی‌ترمال این بخش از معدن موثر بوده است.

منابع

- آلیانی، ف. و دادر، ث. و معانی جو، م.، ۱۳۹۳. آشکارسازی زون‌های دگرسانی کانسار آهن حاجی‌آباد، با استفاده از داده‌های SWIR+VNIR (ستجنه Aster)، فصلنامه علوم زمین شماره ۲۴، ۷۳–۸۰.
- حسین‌زاده، ق.، ۱۳۸۷. مطالعات زمین‌شناسی، شیمی، سیالات درگیر، کانی‌سازی، دگرسانی و زنگ کانسار مس پورفیری سوناجیل-شرق هریس (استان آذربایجان شرقی). رساله دکتری، گروه زمین‌شناسی، دانشگاه تبریز، ۲۱۸.
- سازمان نظام مهندسی معدن، ۱۳۹۵. گزارش پایانی اکتشاف محدوده سوناجیل در مقیاس ۱/۵۰۰۰.
- رمضانی، ط.، ۱۳۹۷. مطالعه برخی سامانه‌های مس پورفیری بارور و نابارور کمریند آتشفشاری اهر-ارسباران: با تأکید بر زمین‌شیمی سیال درگیر. رساله دکتری، گروه زمین‌شناسی، دانشگاه بولعلی سینا، ۲۰۰.
- معانی جو، م.، پوینده، ن.، سپاهی گرو، ع. ا.، دادر، ث.، ۱۳۹۴. نقشه‌برداری مناطق دگرسانی معدن طلای اپی‌ترمال داش کسن با استفاده از تلفیق تصاویر سنجده XRD و تجزیه ASTER، مجله علوم زمین، ۹۵، ۹۵–۱۰۴.
- Barnes, H.L., 1997. Geochemistry of Hydrothermal Ore Deposits. John Wiley and Sons, 997.

- M. and Pokrovski, G.S., 2017. Sulfide minerals in hydrothermal deposits. *Elements*, 13, 97–103.
- Giggenbach, W. 1992. Seg distinguished lecture-magma degassing and mineral deposition in hydrothermal systems along convergent plate boundaries. In: *Economic geology*. university of texas at el paso room 202 quinn hall, el paso, tx 79968.
 - Green, T. and Pearson, N., 1985. Experimental determination of REE partition coefficients between amphibole and basaltic to andesitic liquids at high pressure. *Geochimica et Cosmochimica Acta*, 49, 1465–1468.
 - Heinrich, C.A., 2005. The physical and chemical evolution of low-salinity magmatic fluids at the porphyry to epithermal transition: a thermodynamic study. *Mineral Deposita*, 39, 864–889.
 - Hezarkhani, A., 2008. Hydrothermal evolution of the Sonajil porphyry copper system, East Azarbaijan Province, Iran: The history of an uneconomic deposit. *International Geology Review*, 50, 483–501.
 - Hunt, G.R., 1977. Spectral signatures of particulate minerals in the visible and near infrared. *Geophysics*, 42, 501–513.
 - Hunt, G.R. and Ashley, R.P., 1979. Spectra of altered rocks in the visible and near infrared. *Economic Geology*, 74, 1613–1629.
 - Huston, D.L. and Large, R.R., 1989. A chemical model for the concentration of gold in volcanogenic massive sulphide deposits. *Ore Geology Reviews*, 4, 171–200.
 - Jahangiri, A., 2007. Post-collisional Miocene adakitic volcanism in NW Iran: geochemical and geodynamic implications. *Journal of Asian Earth Sciences*, 30, 433–447.
 - Jamali, H. and Mehrabi, B., 2014. Relationships between arc maturity and Cu-Mo-Au porphyry and related epithermal mineralization at the Cenozoic Arasbaran Magmatic Belt. *Ore Geology Reviews*, 16, 155–170.
 - John, D., Ayuso, R., Barton, M., Blakely, R., Bodnar, R., Dilles, J., Gray, F., Graybeal, F., Mars, J. and McPhee, D., 2010. Porphyry copper deposit model, chap. B of *Mineral deposit models for resource assessment*. US Geological Survey Scientific Investigations Report. 169.
 - Kim, S. and Park, H.D., 2003. The relationship between physical and chemical weathering indices of granites around Seoul, Korea. *Bulletin of Engineering Geology and the Environment*, 62, 207–212.
 - Kouzmanov, K. and Pokrovski, G.S., 2012. Hydrothermal controls on metal distribution in porphyry Cu (-Mo-Au) systems, 16, 573–618.
 - Krauskopf, K., 1979. *Introduction to Geochemistry*. 2nd edn McGraw-Hill. New York, 640.
 - Lukanin, O.A., 2016. Chlorine partitioning between melt and aqueous chloride fluid phase during granite magma degassing. Part II. Crystallization-induced degassing of melts. *Geochemistry International*, 54, 660–680.
 - Maghsoudi, A., Yazdi, M., Mehrpartou, M., Vosoughi, M. and Younesi, S., 2014. Porphyry Cu-Au mineralization in the Mirkuh Ali Mirza magmatic complex, NW Iran. *Journal of Asian Earth Sciences*, 79, 932–941.
 - Mars, J.C. and Rowan, L.C., 2006. Regional mapping of phyllitic-and argillic-altered rocks in the Zagros magmatic arc, Iran, using Advanced Spaceborne Thermal Emission and Reflection Radiometer (ASTER) data and logical operator algorithms. *Geosphere*, 2, 161–186.
 - Ninomiya, Y.A. 2003, stabilized vegeta-

- tion index and several mineralogic indices defined for ASTER VNIR and SWIR data. Proceedings of the International Geoscience and Remote Sensing Symposium.
- Ogg, J.G., Ogg, G. and Gradstein, F.M., 2008. The Concise Geologic Time Scale. University Press.
 - Pearce, J.A., 1996. A user's guide to basalt discrimination diagrams. Trace element geochemistry of volcanic rocks: applications for massive sulphide exploration Geological Association of Canada, Short Course Notes, 12, 79-114.
 - Pearce, J.A., Harris, N.B. and Tindle, AG., 1984. Trace element discrimination diagrams for the tectonic interpretation of granitic rocks. *Journal of Petrology*, 25, 956-983.
 - Pirajno, F., 2009. Hydrothermal processes associated with meteorite impacts. In: *Hydrothermal Processes and Mineral Systems*. Springer, 1273.
 - Pour, A.B. and Hashim, M., 2011. Identification of hydrothermal alteration minerals for exploring of porphyry copper deposit using ASTER data, SE Iran. *Journal of Asian Earth Sciences*, 42, 1309-1323.
 - Pour, A.B. and Hashim, M., 2012a. The application of ASTER remote sensing data to porphyry copper and epithermal gold deposits. *Ore Geology Reviews*, 44, 1-9.
 - Pour, A.B. and Hashim, M., 2012b. Identifying areas of high economic-potential copper mineralization using ASTER data in the Urumieh-Dokhtar Volcanic Belt, Iran. *Advances in Space Research*, 49, 753-769.
 - Reichenbacher, B., Alimohammadian, H., Sabouri, J., Haghfarshi, E., Faridi, M., Abbasi, S., Matzke-Karasz, R., Fellin, M.G., Carnevale, G. and Schiller, W., 2011. Late Miocene stratigraphy, palaeoecology and palaeogeography of the Tabriz basin (NW Iran, Eastern Paratethys). *Palaeogeography, Palaeoclimatology, Palaeoecology*, 311, 1-18.
 - Rowan, L.C., Goetz, AF. and Ashley, R.P., 1977. Discrimination of hydrothermally altered and unaltered rocks in visible and near infrared multispectral images. *Geophysics*, 42, 522-535.
 - Rowan, L.C., Schmidt, R.G. and Mars, J.C., 2006. Distribution of hydrothermally altered rocks in the Reko Diq, Pakistan mineralized area based on spectral analysis of ASTER data. *Remote Sensing of Environment*, 104, 74-87.
 - Sillitoe, R.H., 2010. Porphyry copper systems. *Economic Geology*. 105: 3-41.
 - Spatz, D. and Wilson, R., 1995. Remote sensing characteristics of porphyry copper systems, western America Cordillera. *Arizona Geological Society Digest*, 20, 94-108.
 - Vaziri, H.M. and Sobhani, E.A., 1977. *Volcanology and volcanosedimentology of the Sahand region*. Tarbiat-e-Moalem University, 54.
 - Weldemariam, A., 2009. Mapping hydrothermally altered rocks and lineament analysis through digital enhancement of ASTER data case study: Kemashi area, Western Ethiopia. Master of Science Dissertation, Addis Ababa University, Addis Ababa.
 - Whitney, D.L. and Evans, B.W., 2010. Abbreviations for names of rock-forming minerals. *American Mineralogist*, 95, 185-187.
 - Winchester, J. and Floyd, P., 1977. Geochemical discrimination of different magma series and their differentiation products using immobile elements. *Chemical Geology*, 20, 325-343.

- Yang, K. and Bodnar, R.J., 1994. Magmatic-Hydrothermal evolution in the “Bottoms” of porphyry copper systems: Evidence from silicate melt and aqueous fluid inclusions in granitoid intrusions in the Gyeongsang Basin, South Korea. International Geology Review, 36, 608-628.
- Zajzon, N., Szentpéteri, K., Szakáll, S. and Kristály, F., 2015. The origin of the Avram Iancu U-Ni-Co-Bi-As mineralization, Băița (Bihor) metallogenic district, Bihor Mts., Romania. International Journal of Earth Sciences (Geologische Rundschau), 104, 1865-1887.
- Zhang, X., Pazner, M. and Duke, N., 2007. Lithologic and mineral information extraction for gold exploration using ASTER data in the south Chocolate Mountains (California). ISPRS Journal of Photogrammetry and Remote Sensing, 62, 271-282.